



+

ГОСУДАРСТВЕННЫЙ СТАНДАРТ  
СОЮЗА ССР

СТАЛЬ

МЕТАЛЛОГРАФИЧЕСКИЙ МЕТОД ОЦЕНКИ  
МИКРОСТРУКТУРЫ ЛИСТОВ И ЛЕНТЫ

ГОСТ 5640—68

Издание официальное

ГОСУДАРСТВЕННЫЙ КОМИТЕТ ССРП ПО СТАНДАРТАМ  
Москва

**СТАЛЬ**

**Металлографический метод оценки  
микроструктуры листов и ленты**

**Steel. Metallographic method for determination of  
microstructure of sheets and bands**

**ГОСТ****5640—68**

Взамен

**ГОСТ 5640—59**

Утвержден Постановлением Комитета стандартов мер и измерительных приборов при Совете Министров СССР от 31 октября 1968 г. № 63. Срок действия установлен

с 01.01.70до 01.01.91

**Несоблюдение стандарта преследуется по закону**

Настоящий стандарт распространяется на листы и ленты из малоуглеродистой и углеродистой стали и устанавливает металлографический метод оценки структурно-свободного цементита, перлита, полосчатости и видманштеттовой структуры.

Применение метода предусматривается в стандартах и технических условиях на металлопродукцию, устанавливающих технические требования на нее.

### **1. ОТБОР ОБРАЗЦОВ И ИЗГОТОВЛЕНИЕ МИКРОШЛИФОВ**

1.1. Оценка микроструктуры производится на микрошлифах размером 30×40 мм. Образцы для микрошлифов должны вырезаться холодным механическим способом так, чтобы их плоскость совпадала с направлением волокон (образцы должны быть продольными). Место вырезки и количество образцов от партии должны быть оговорены соответствующими стандартами и техническими условиями.

1.2. Способ изготовления микрошлифов не регламентируется. Для удаления наклепанного от механической обработки слоя применяют повторную полировку.

ОВА СТРУКТУРА ( $\times 100$ )

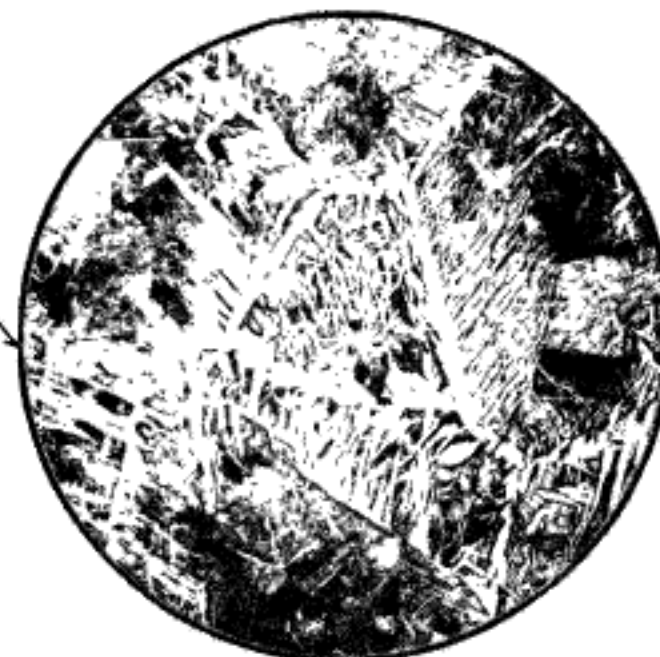
Балл 3



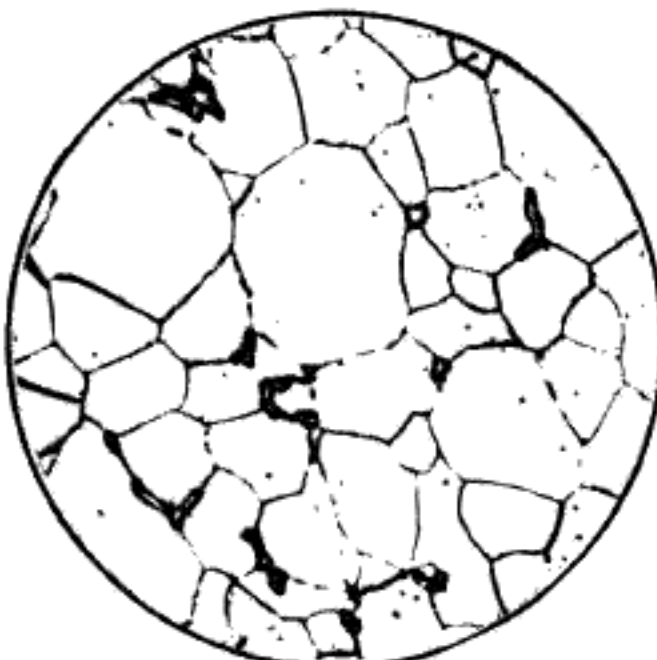
Балл 4



Балл 5



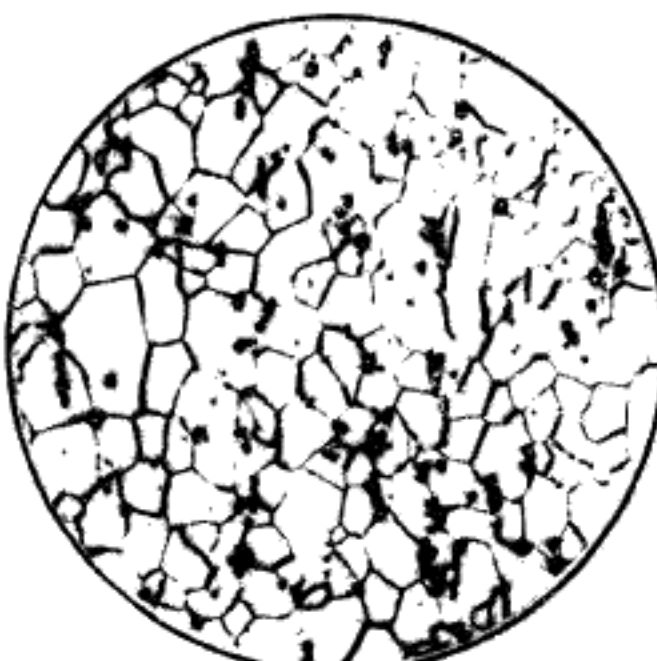
Балл 2



Балл 1



Балл 0

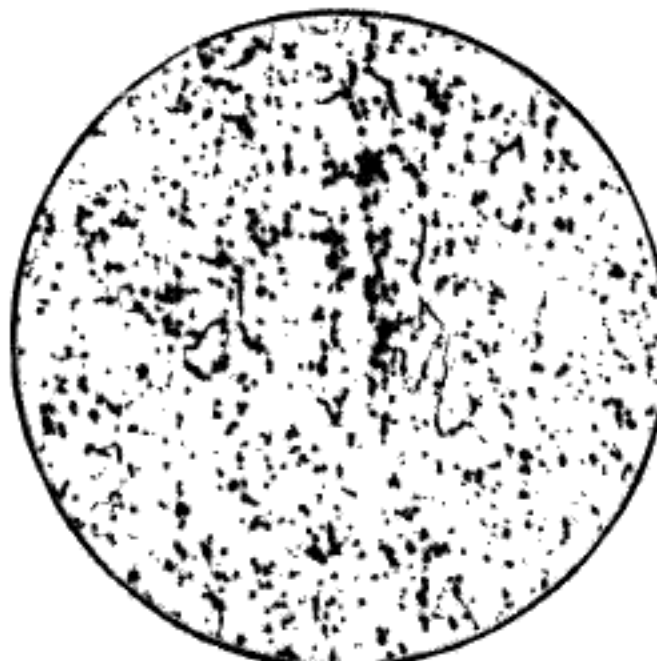
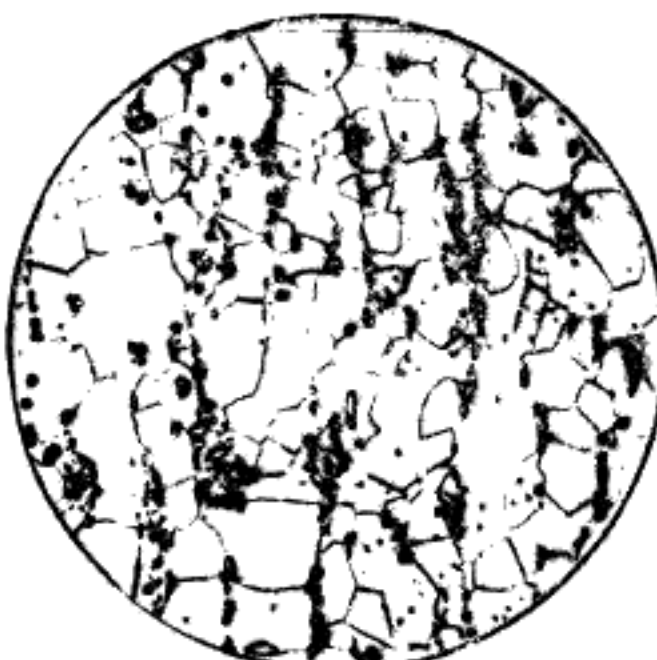


Ряд

A



B

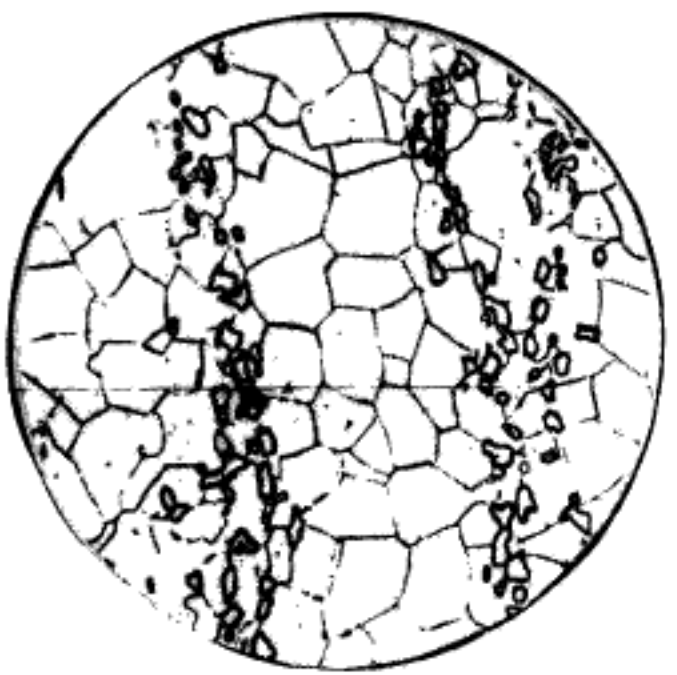


C

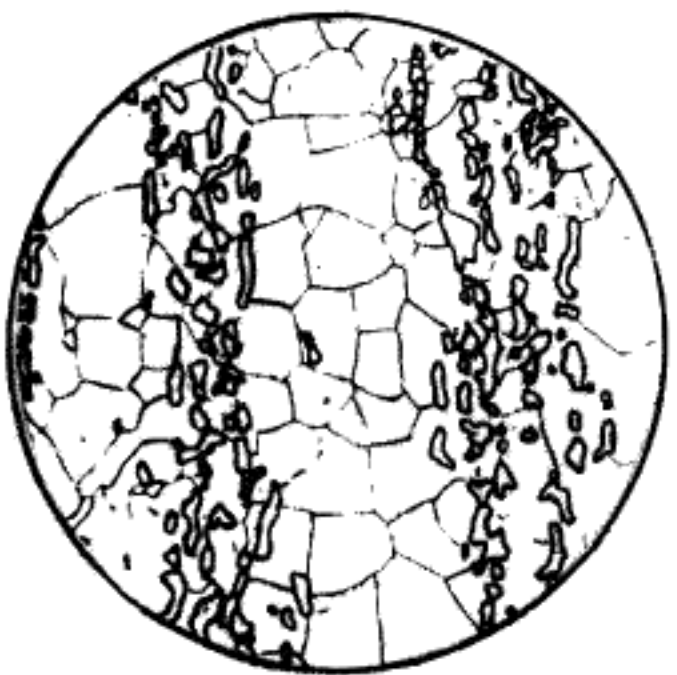
Балл 3



Балл 4

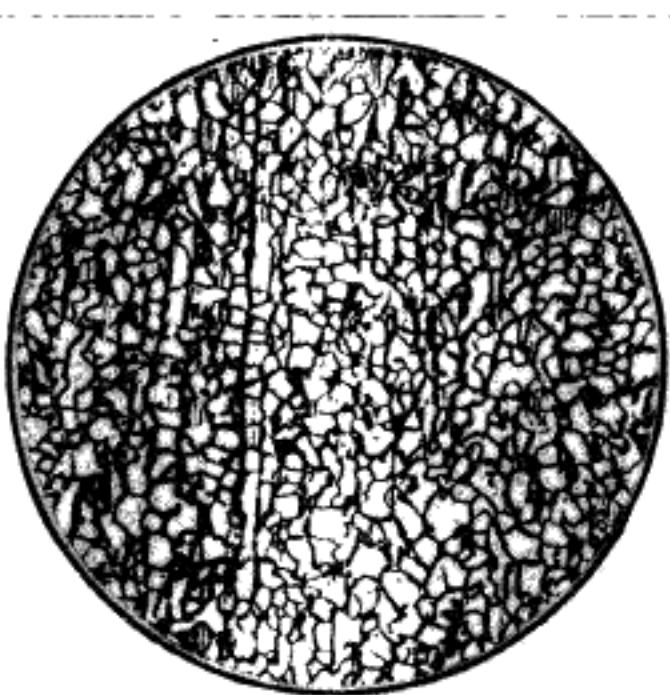


Балл 5



ШКАЛА 3. ПОЛОСЧАТОСТЬ ФГРГИ

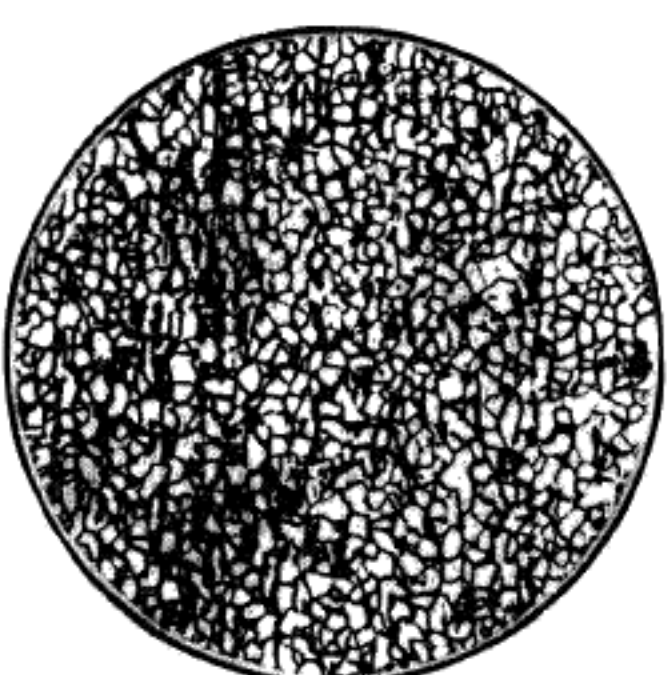
Балл 2



Балл 1

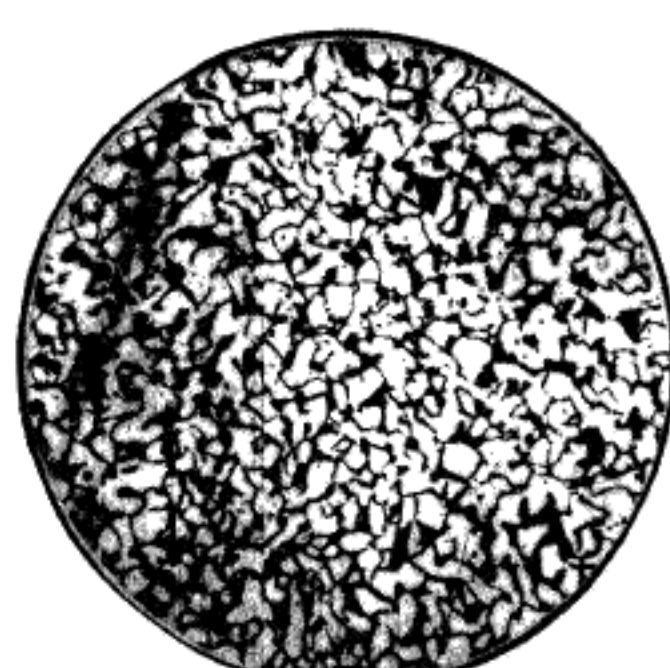
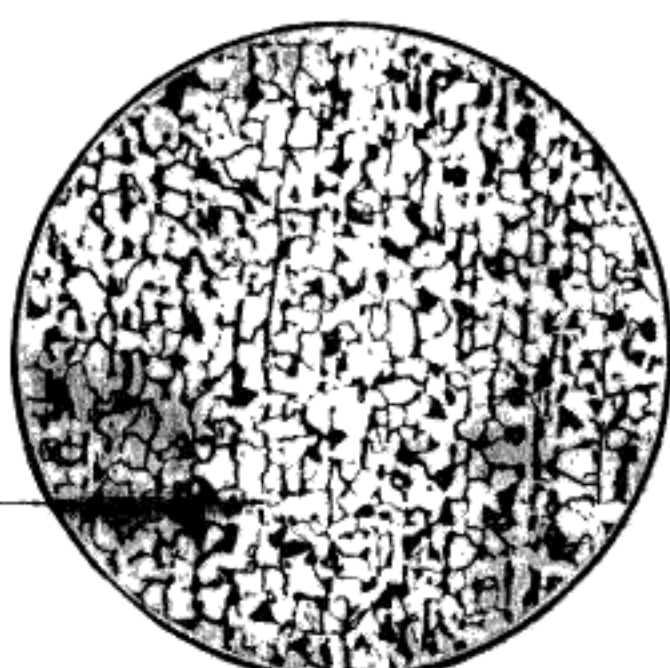
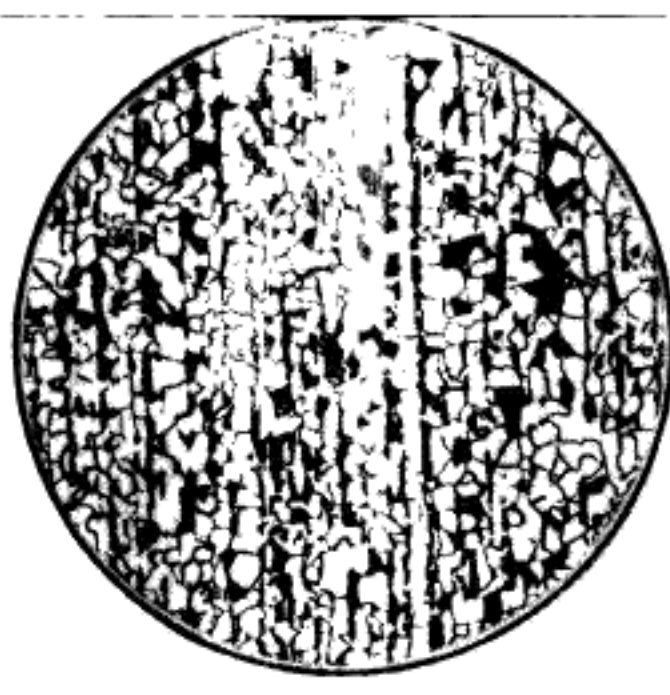


Балл 0



Ряд

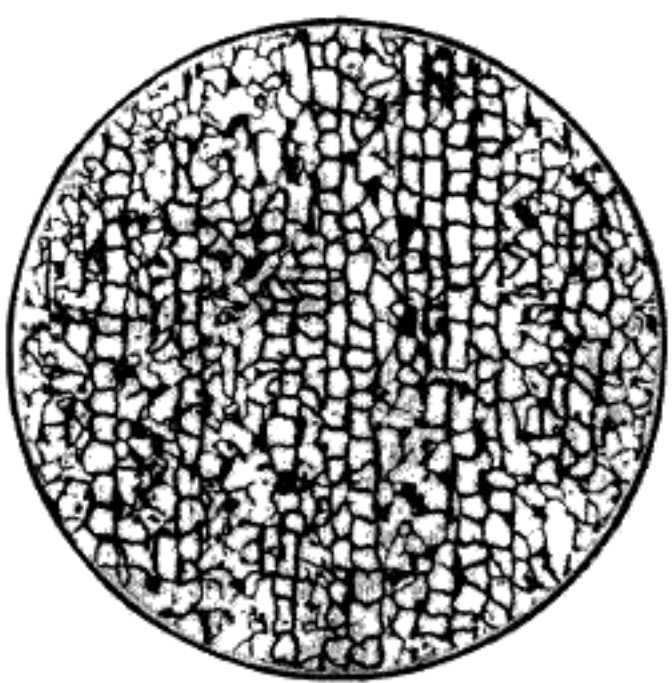
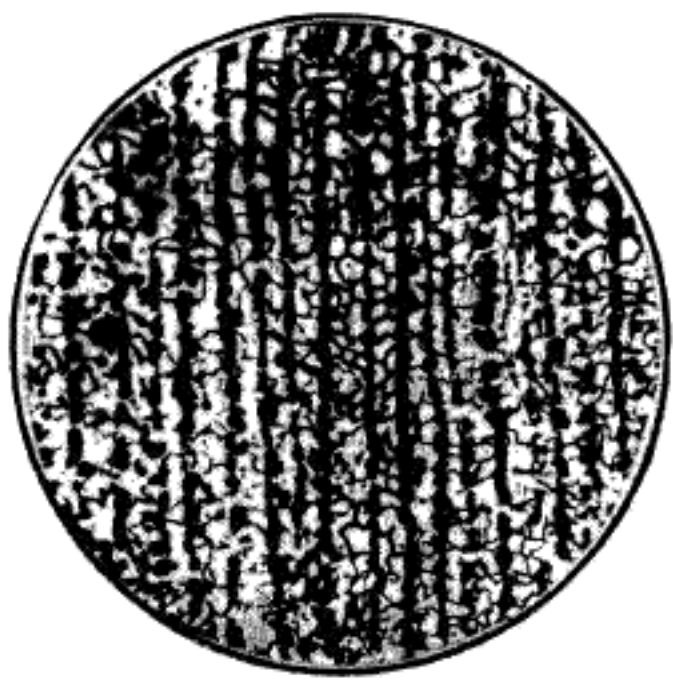
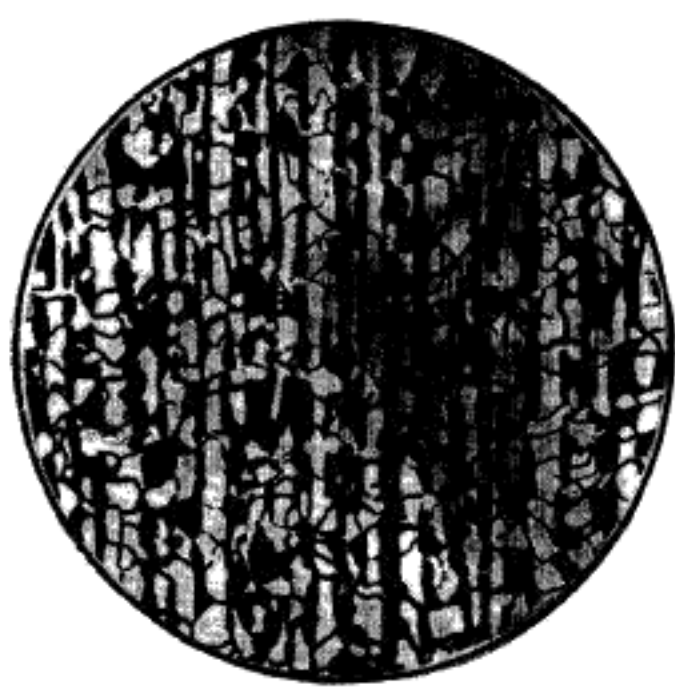
A



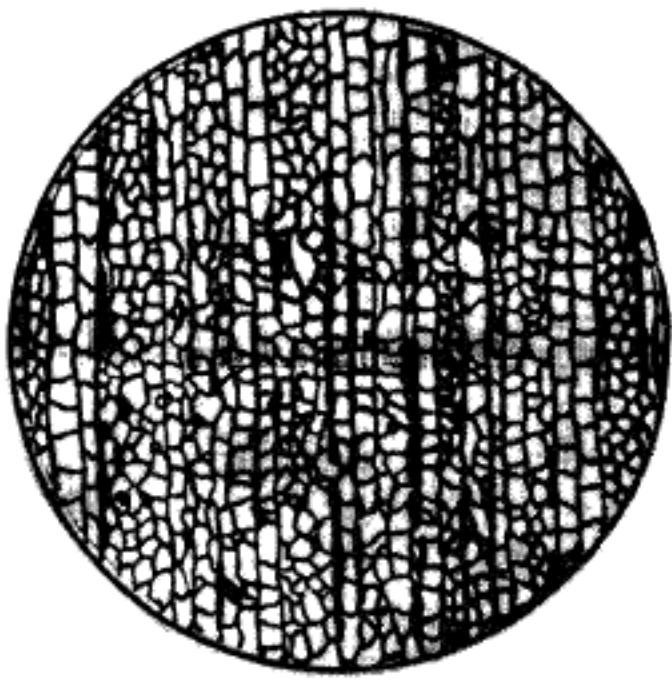
Б

В

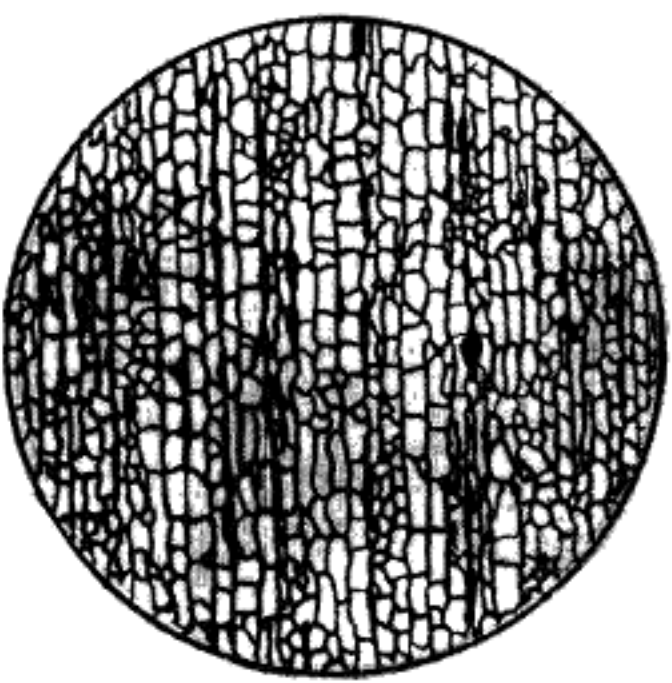
Балл 3



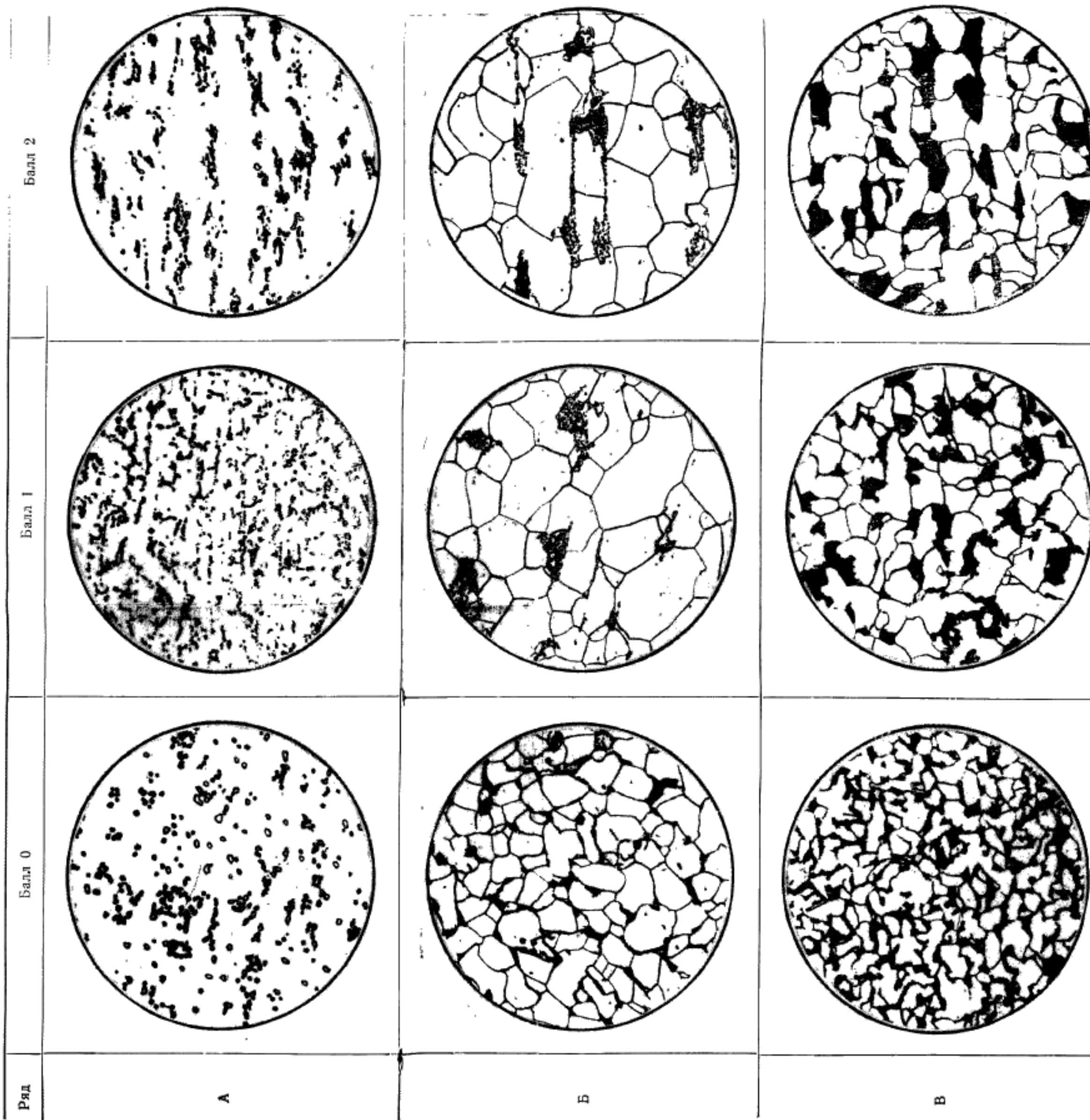
Балл 4

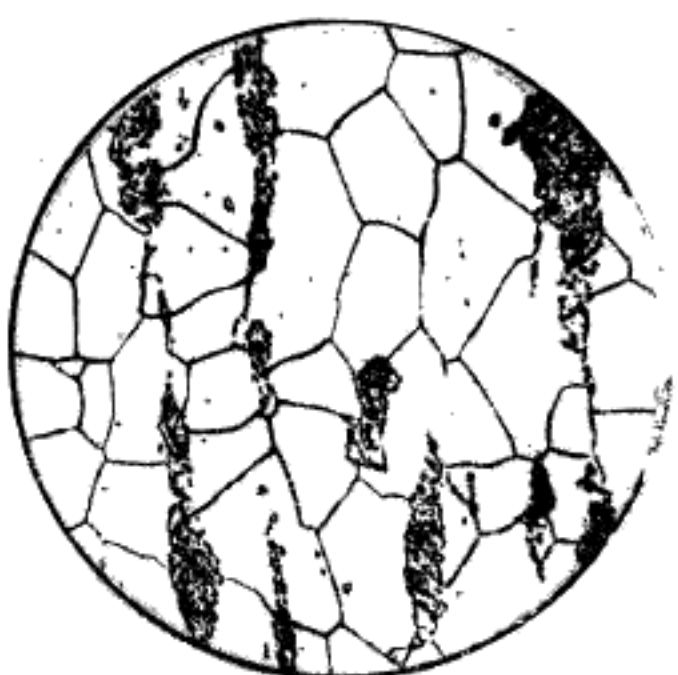


Балл 5



ШКАЛА 2. ПЕРЛИТ В МАЛОУГЛЕРОДИСТОЙ ДЕГ





Балл 3

Балл 4

Балл 5

Величина	Единицы				
	Наименование	Обозначение			
		международное	русское		
<b>ОСНОВНЫЕ ЕДИНИЦЫ СИ</b>					
Длина	метр	m		м	
Масса	килограмм	kg		кг	
Время	секунда	s		с	
Сила электрического тока	ампер	A		А	
Термодинамическая температура	kelвин	K		К	
Количество вещества	моль	mol		моль	
Сила света	кандела	cd		кд	
<b>ДОПОЛНИТЕЛЬНЫЕ ЕДИНИЦЫ СИ</b>					
Плоский угол	радиан	rad		рад	
Телесный угол	стерадиан	sr		ср	
<b>ПРОИЗВОДНЫЕ ЕДИНИЦЫ СИ, ИМЕЮЩИЕ СПЕЦИАЛЬНЫЕ НАИМЕНОВАНИЯ</b>					
Величина	Единицы			Выражение через единицы и дополнительные единицы СИ	
	Наименование	Обозначение			
		междунар.- дионное	русское		
Частота	герц	Hz	Гц	$\text{с}^{-1}$	
Сила	ньютон	N	Н	$\text{м кг с}^{-2}$	
Давление	паскаль	Pa	Па	$\text{м}^{-1} \text{ кг с}^{-2}$	
Энергия	дюйуль	J	Дж	$\text{м}^2 \text{ кг с}^{-2}$	
Мощность	ватт	W	Вт	$\text{м}^2 \text{ кг с}^{-3}$	
Количество электричества	кулон	C	Кл	$\text{с А}$	
Электрическое напряжение	вольт	V	В	$\text{м}^2 \text{ кг с}^{-3} \text{ А}^{-1}$	
Электрическая емкость	фарад	F	Ф	$\text{м}^{-2} \text{ кг}^{-1} \text{ с}^4 \text{ А}^2$	
Электрическое сопротивление	ом	$\Omega$	Ом	$\text{м}^2 \text{ кг с}^{-3} \text{ А}^{-2}$	
Электрическая проводимость	сименс	S	См	$\text{м}^{-3} \text{ кг}^{-1} \text{ с}^2 \text{ А}^2$	
Поток магнитной индукции	вебер	Wb	Вб	$\text{м}^2 \text{ кг с}^{-2} \text{ А}^{-1}$	
Магнитная индукция	tesла	T	Тл	$\text{кг с}^{-2} \text{ А}$	
Индуктивность	генри	H	Гн	$\text{м}^2 \text{ кг с}^{-2} \text{ А}^{-2}$	
Световой поток	люмен	lm	лм	кд ср	
Освещенность	люкс	lx	лк	$\text{м}^{-2} \text{ кд ср}$	
Активность радионуклида	беккерель	Bq	Бк	$\text{с}^{-1}$	
Поглощенная доза изонизирующего излучения	грай	Gy	Гр	$\text{м}^2 \text{ с}^{-2}$	
Эквивалентная доза излучения	зиверт	Sv	Зв	$\text{м}^2 \text{ с}^{-2}$	

## 2. МЕТОД ОПРЕДЕЛЕНИЯ МИКРОСТРУКТУРЫ

2.1. Травление образцов производят в 4%-ном растворе азотной кислоты в спирте. При выявлении структурно-свободного цементита образцы необходимо травить столько времени, чтобы четко выявились только частицы цементита, а границы зерен могут быть выявлены слабо.

2.2. Для оценки структурно-свободного цементита и перлита в малоуглеродистых сталях применяют микроскопы с увеличением 360—400 $\times$ , для оценки полосчатости и видманштеттовой структуры — микроскопы с увеличением около 100 $\times$ .

2.3. Стандартный диаметр фотоэталона — 80 мм.

2.4. При пользовании шкалами стандарта необходимо указывать номер балла и буквенно обозначение ряда, например, 1А, 3В и т. д.

### Шкала 1. Структурно-свободный цементит

2.5. Шкала для оценки структурно-свободного цементита в отожженной малоуглеродистой стали с содержанием углерода до 0,15% построена в зависимости от количества, формы и расположения цементитных частиц и состоит из трех рядов и шести баллов.

Ряд А построен по принципу образования цементитной сетки по границам зерен. Для количественной характеристики используется доля периметра отдельных зерен феррита, охваченная сеткой цементита.

Ряд Б построен по возрастанию размеров частиц структурно-свободного цементита, образующих однослоиные, двухслойные и многослойные цепочки различной протяженности.

Ряд В построен по принципу перехода равномерно распределенной точечной сыпи в неравномерную полосчатую структуру. В табл. 1 (приложение 1) приведены описания микроструктур по баллам шкалы 1 (приложение 2).

### Шкала 2. Перлит в малоуглеродистой деформированной стали

2.6. Шкала для оценки количества и характера расположения перлита в малоуглеродистой деформированной стали с содержанием углерода 0,10—0,30% построена в зависимости от строения перлита (зернистый или сорбикообразный, его количества и характера распределения и состоит из двух рядов и шести баллов.

Ряд А предназначен для оценки зернистого перлита в холоднокатаной стали с содержанием углерода 0,1—0,2%. При увели-

чении номера балла увеличивается размер частиц цементита и наблюдается тенденция к образованию полос.

**Ряд Б** предназначен для оценки сорбитаобразного перлита в горячекатаной стали с содержанием углерода 0,1—0,2%. При увеличении номера балла зернистый перлит переходит в пластинчатый с образованием дифференцированных полос.

**Ряд В** предназначен для оценки перлита в горячекатаной стали с содержанием углерода 0,21—0,30%. При увеличении номера балла микроструктура с небольшими однородными по величине и равномерно распределенными участками перлита становится неоднородной полосчатой структурой, при этом оценку микроструктуры необходимо производить по ликвационной зоне, состоящей из скоплений перлита в виде широких сплошных полос.

В табл. 2 (приложение 1) приведены описания микроструктур по баллам шкалы 2 (приложение 2).

### Шкала 3. Полосчатость феррито-перлитной структуры

2.7. Шкала для оценки полосчатости в структуре перлитных сталей построена по принципу возрастания количества ферритных полос с учетом степени их сплошности и степени равноносности зерен в полосах и состоит из трех рядов и шести баллов.

**Ряд А** предназначен для оценки полосчатости в стали с содержанием углерода до 0,15%.

**Ряд Б** предназначен для оценки полосчатости в сталях с содержанием углерода 0,16—0,30%.

**Ряд В** предназначен для оценки полосчатости в сталях с содержанием углерода 0,31—0,50%.

В табл. 3 (приложение 1) приведены описания микроструктур по баллам шкалы 3 (приложение 2).

### Шкала 4. Видманштеттова структура

2.8. Шкала для оценки развития видманштеттовой структуры в перлитных сталях после перегрева построена по принципу возрастания количества и размеров игольчатых выделений феррита и величины зерна, определяемой по ферритной сетке, соответствующей размеру действительного аустенитного зерна, и состоит из двух рядов и шести баллов.

**Ряд А** предназначен для оценки микроструктуры в сталях с содержанием углерода 0,15—0,30%.

**Ряд Б** предназначен для оценки микроструктуры в сталях с содержанием углерода 0,31—0,50%.

В табл. 4 (приложение 1) приведены описания микроструктур по баллам шкалы 4 (приложение 2).

2.9. Оценка микроструктуры производится путем сопоставления микроструктуры с эталонами соответствующих шкал. При этом оценка структурно-свободного цементита, перлита, полосчатости и видманштеттовой структуры производится по наибольшему баллу, встречающемуся не менее чем в трех участках шлифа. Поверхностный слой металла глубиной примерно 10% от толщины листа с каждой стороны не учитывается.

## ПРИЛОЖЕНИЕ I

Таблица 1

Шкала 1. Структурно-свободный цементит

Номер балла	Описание микроструктуры		
	Ряд А	Ряд Б	Ряд В
0	Равномерно распределенная точечная или мелкоглобуллярная сеть из цементитных частиц размером до 1—2 мк	Точечная, или мелкоглобуллярная сеть из цементитных частиц, имеющих тенденцию к образованию однослоевых цепочек	Точечная или мелкоглобуллярная сеть, равномерно распределенная по полу шлифа и имеющая некоторую ориентированность в направлении деформации
1	Неравнносные включения цементита с размерами до 5 мм, расположенные равномерно в объеме зерна почки	Частицы цементита различными по величине, образующие однослоевые цепочки	Мелкоглобуллярная сеть с размерами частиц 1—2 мм, ориентированная в направлении деформации
2	Относительно равномерно расположенные частицы цементита различными более 5 мм, имеющие склонность к залеганию в виде сетки по границам зерен и охватывающие не более $\frac{1}{6}$ периметра зерен	Однослойные и двухслойные цепочки из частиц цементита различного размера до 3 мм	Небольшие скопления частиц цементита размерами 1—2 мм, ориентированные в направлении деформации
3	Включения цементита, залегающие в виде сетки по границам зерен и охватывающие до $\frac{1}{3}$ периметра зерна феррита	Однослойные и двухслойные цепочки из частиц цементита до 5 мм	Глобуллярные частицы размером 2—3 мм, расположенные в виде скоплений и разорванных полос, вытянутых в направлении деформации
4	Включения цементита, залегающие в виде сетки по границам зерен и охватывающие до $\frac{2}{3}$ периметра зерна феррита	Двухслойные и трехслойные цепочки, проходящие через все зерна и состоящие из частиц цементита различными более 5 мм	Структура соответствует баллу 4 ряда Б
5	Включения цементита, образующие сплошную или почти сплошную сетку по границам зерен феррита	Широкие многослойные цепочки, проходящие через все зерна и состоящие из крупных (более 5 мм) частиц	Структура соответствует баллу 5 ряда Б

Таблица 2

## Шкала 2. Перлит в малоуглеродистой деформированной стали

Номер балла	Описание микроструктуры			Ряд В
	Ряд А	Ряд В	Ряд В	
0	Равномерно или относительно равномерно распределенный равномерный перлит с размерами частичек от мелкозернистого до 1-2 мм	Равномерно распределенные в поле зерен участки зерна перлита	Равномерно распределенные в поле зерен небольшие участки тонкопластинчатого перлита	
1	Небольшая строительность зернистого перлита в направлении частичек	Небольшое количество участков сорбикообразного перлита, слабо ориентированного в направлении деформации	Относительно равномерно расположенные более крупные участки перлита, слабо ориентированные в направлении деформации	
2	Неравномерное расположение зернистого перлита, расположенного в виде скоплений, ориентированных в направлении деформации	Более крупные участки сорбикообразного перлита, имеющие строение скоплений в направлении деформации	Неоднородные по величине участки перлита, имеющие строение скоплений	
3	Более крупные скопления зернистого перлита, расположенные в направлении деформации	Более крупные участки сорбикообразного перлита, имеющие строение скоплений	Скопления перлита и полосы	
4	Одна сплошная и несколько разорванных полос зернистого перлита	Сорбикообразный, местами плавникатый перлит, имеющий строение скоплений	Одна или несколько разорванных полос перлита, проходящих через все поле зерен	
5	Ярко выраженное полосчатое расположение грубозернистого перлита	Крупные участки сорбикообразного и грубопластинчатого перлита, имеющего ярко выраженное строение, не менее $\frac{1}{6}$ диаметра поля зрения	Широкие сплошные полосы перлита более грубого строения, проходящие через все поле зерен	

Таблица 3

## Шкала 3. Полосчатость феррито-перлитной структуры

Номер балла	Описание микроструктуры		
	Ряд А	Ряд Б	Ряд В
0	Равноосные зерна феррита и небольшое количество перлита с полным отсутствием полосчатости	Равномерная феррито-перлитная структура с полным отсутствием полосчатости	Равномерная перлито-ферритная структура с полным отсутствием полосчатости
1	Общая ориентировка структуры в направлении деформации без четко выраженных полос	Общая ориентировка структуры в направлении деформации без четко выраженных полос	Ориентировка скоплений феррита в направлении деформации
2	Одна-две сплошные и несколько разорванные полосы из равноосных зерен феррита	Одна-две сплошные и несколько разорванных полос из равноосных зерен феррита	Одна-две сплошные и несколько разорванных полос из равноосных зерен феррита и перлита
3	Несколько полос феррита, проходящих через все поле зрения, на фоне равноосных зерен	Чередование ферритных и перлитных полос, состоящих из равноосных зерен	Чередование ферритных и перлитных полос, состоящих из равноосных зерен
4	Чередование полос из мелких равноосных и более крупных деформированных зерен феррита	Равномерное чередование ферритных и перлитных полос, состоящих из равноосных и некоторого количества деформированных зерен	Равномерное чередование ферритных и перлитных полос, состоящих из равноосных зерен
5	Чередование полос из мелких равноосных и большого количества более крупных деформированных зерен	Неравномерное чередование ферритных и перлитных полос, состоящих примущественно из деформированных зерен	Неравномерное чередование ферритных и перлитных полос, состоящих из деформированных зерен

Таблица 4

## Видмаништеттова структура

Номер балла	Описание микроструктуры	
	Ряд А	Ряд Б
0	Равномерная феррито-перлитная структура с полным отсутствием признаков видмаништетта	Равномерная перлитно-ферритная структура с полным отсутствием признаков видмаништетта
1	Наличие в структуре ферритных зерен, имеющих неправильную осколоччатую форму	Наличие в структуре зерен феррита осколочатой формы и небольшого количества отростков от сетки феррита по границам зерен
2	Наличие в структуре отдельных участков, имеющих игольчатое строение	Наличие в структуре игл, отходящих от сетки феррита по границам зерен
3	Видмаништеттова структура с тонкими иглами, отходящими от ферритной сетки и расположеннымными внутри зерен	Видмаништеттова структура со значительным количеством тонких игл внутри зерен и отходящих от сетки по границам зерен
4	Ярко выраженная видмаништеттова структура	Ярко выраженная видмаништеттова структура с большим количеством длинных игл, отходящих от сетки феррита по границам зерен
5	Ярко выраженная грубая видмаништеттова структура с массивными иглами и ферритной сеткой по границам зерен	Ярко выраженная грубая видмаништеттова структура с массивными иглами и толстой ферритной сеткой по границам зерен

Редактор Н. В. Бобкова

Технический редактор И. Н. Дубина

Корректор А. С. Черноусова

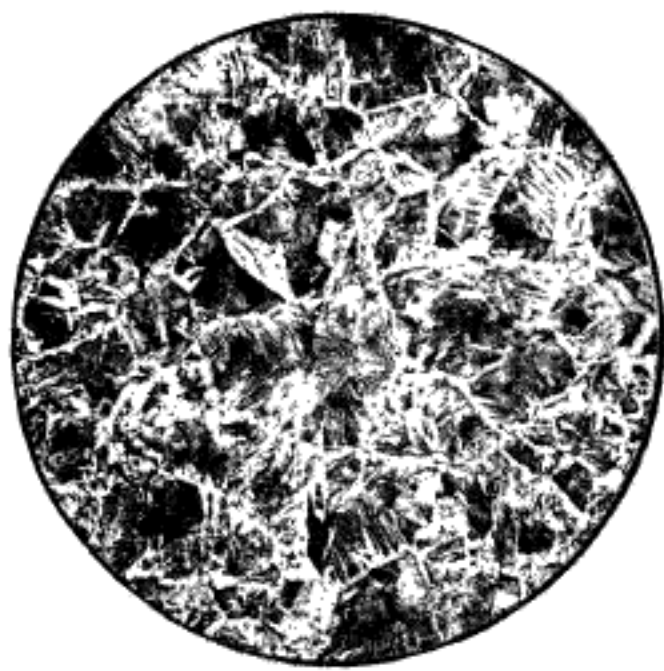
Сдано в наб. 16.05.88 Подп. в печ. 11.10.88 0,5 усл. п. л. + 4 вкл. 2,0 усл. п. л. 2,63 усл. кр.-отт.  
0,46 усл.-изд. л. + 4 вкл. 1,94 усл.-изд. л. Тираж 8000 Цена 20 коп.

Ордена «Знак Почета» Издательство стандартов, 123840, Москва, ГСП,  
Новопресненский пер., 3.

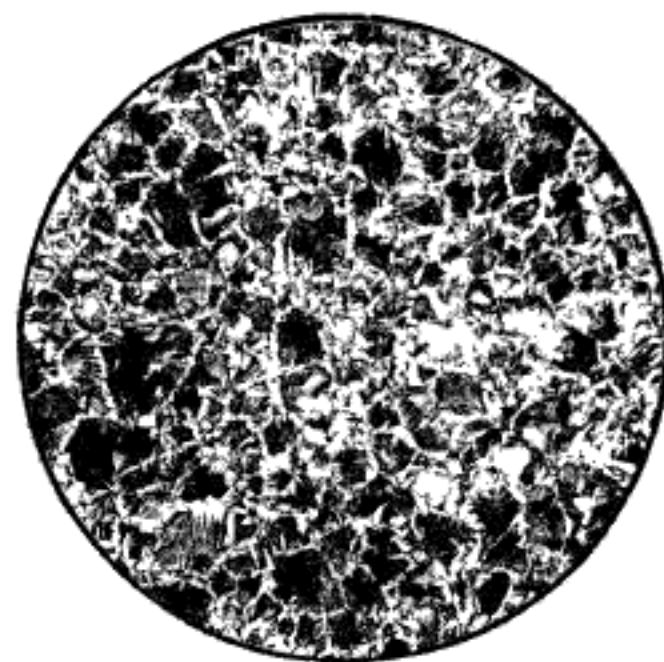
Калужская типография стандартов, ул. Московская, 266. Зак. 1707

ШКАЛА 4. ВИДМАНШТЕ

Балл 2



Балл 1



Балл 0

